

УДК 532.526.013

ВОЗБУЖДЕНИЕ ВОЛН НЕУСТОЙЧИВОСТИ
ЛОКАЛИЗОВАННЫМ ВИБРАТОРОМ В ПОГРАНИЧНОМ СЛОЕ

A. M. Тумин, A. B. Федоров

(Москва)

Современные методы определения критических чисел Рейнольдса перехода ламинарного пограничного слоя в турбулентный основаны на расчетах линейной стадии развития волн неустойчивости (волны Толлмина—Шлихтинга), начальные амплитуды которых определяются эмпирически [1, 2]. Для построения замкнутых алгоритмов расчета развития волн Толлмина—Шлихтинга (Т—Ш) необходим анализ возможных механизмов возбуждения этих волн внешними возмущениями. С другой стороны, проблема восприимчивости пограничного слоя к внешним воздействиям тесно связана с вопросами ламинаризации течения на поверхности летательного аппарата.

Хорошо известно, что локализованные в пространстве, периодические по времени внешние возмущения эффективно возбуждают волны Т—Ш [1, 3]. В реальных условиях полета и при испытаниях в аэродинамических трубах источником таких возмущений могут служить вибрации обтекаемой поверхности. На тесную связь между возникновением неустойчивости и характеристиками вибраций модели указывают эксперименты [4, 5].

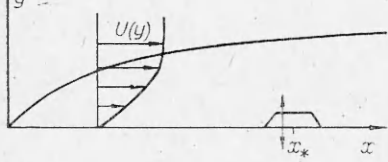
Теоретический анализ возмущений, возбуждаемых вибрациями обтекаемой поверхности в пограничном слое, развивался в [6—11]. Первая математическая модель, имеющая отношение к генерации волн Т—Ш локализованным вибратором, была построена Гастером [6]. В [7—9] рассматривался вибратор в дозвуковом и сверхзвуковом пограничных слоях. Анализ проводился в рамках трехслойной асимптотической модели в предположении, что характерные масштабы задачи соответствуют окрестности нижней ветви нейтральной кривой. Получены асимптотические выражения для длинноволновых возмущений давления, возбуждаемых в окрестности вибрирующего участка поверхности. В частности, определена амплитуда затухающей волны Т—Ш. Однако задача о возбуждении растущих волн неустойчивости выходила за рамки принятой математической модели. В этой связи в [10] предложен постулат, позволяющий определить амплитуду экспоненциально растущей волны Т—Ш. Необходимость в постулате исчезает, если рассматривать вибратор, который начинает колебаться в некоторый начальный момент времени $t = 0$ [6], или решать задачу на больших масштабах длины с учетом непараллельности течения в пограничном слое (см. ниже).

В [11] рассмотрен резонансный режим возбуждения волн Т—Ш вибрационной волной, бегущей по обтекаемой поверхности. Анализ проводился с помощью разложения решения по собственным функциям линеаризованных уравнений Навье—Стокса. При этом учитывалась непараллельность течения в реальном пограничном слое. Обнаружена высокая эффективность резонансного возбуждения волн Т—Ш.

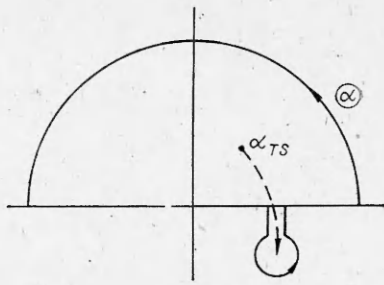
Для проверки результатов теории проведено экспериментальное исследование возмущений, возбуждаемых локализованным вибратором в пограничном слое на плоской пластине [12].

В данной работе выполнен анализ возбуждения волн неустойчивости локализованным вибратором на основе результатов [11]. Проведено сравнение теории с экспериментом. Выполнены расчеты амплитуд возбуждаемых волн неустойчивости для чисел Маха $M = 0,2\text{--}0,8$.

1. Рассмотрим течение в двумерном пограничном слое. Для простоты изложения считаем течение несжимаемым. Ниже указаны несущественные отличия, возникающие при учете сжимаемости среды. Пусть x — расстояние от передней кромки модели вниз по потоку вдоль обтекаемой поверхности, y — расстояние по нормали от нее. На расстоянии L от передней кромки установлен вибратор, колеблющийся с частотой ω (фиг. 1). Выберем характерные масштабы: вдоль оси x — расстояние $X \sim L$, по оси y — $(v_\infty X / U_\infty)^{1/2}$, где v_∞ , U_∞ — кинематический коэффициент вязкости и скорость в набегающем потоке. Время измеряется в единицах $(v_\infty X / U_\infty^3)^{1/2}$, давление — в единицах $\rho_\infty U_\infty^2$, ρ_∞ — плотность.



Фиг. 1



Фиг. 2

Предположим, что основное течение слабонеоднородно в направлении оси x с продольной U и нормальной V^* компонентами скорости, удовлетворяющими соотношениям

$$U = U(x, y), \quad V^* = \varepsilon V(x, y), \quad \varepsilon = R^{-1} = (v_\infty / U_\infty X)^{1/2} \ll 1.$$

Пусть вибрация поверхности описывается уравнением

$$y_w(s, t) = \text{Real}[af(s)e^{-i\omega t}], \quad s = \varepsilon^{-1}(x - x_*), \quad f(s) = O(1),$$

где $x_* = L/X$ — координата центра вибратора; $f(s)$ — форма вибратора, локализованного по x на масштабе $\sim \varepsilon L$. Предполагается, что амплитуда вибраций много меньше толщины вязкого пристеночного слоя $a \ll (\omega R)^{-1/2}$. В этом случае возмущения, возбуждаемые вибратором в пограничном слое, описываются линеаризованными уравнениями Навье — Стокса [7—10].

Введем вектор-функцию $\mathbf{Q}(x, y, t)$: Q_1, Q_2, Q_3 — возмущения x -компоненты скорости, давления и y -компоненты скорости соответственно, $Q_4 = \partial Q_1 / \partial y - \varepsilon \partial Q_3 / \partial x$. Для возмущений фиксированной частоты

$$\mathbf{Q}(x, y, t) = a \text{Real}[\mathbf{A}(x, y)e^{-i\omega t}],$$

где $\mathbf{A}(x, y)$ — комплексная амплитуда, удовлетворяющая линеаризованным уравнениям Навье — Стокса, в которых выполнено преобразование Фурье по времени [11, 13]:

$$(1.1) \quad \partial \mathbf{A} / \partial y - H_1 \mathbf{A} = \varepsilon H_2 \partial \mathbf{A} / \partial x + \varepsilon H_3 \mathbf{A}.$$

Явный вид матриц H_1, H_2 дан в [11]. Матрица-оператор H_3 содержит члены $\partial U / \partial x, V, \partial V / \partial y$, связанные с непараллельностью основного течения.

Для непроницаемой поверхности выполняются граничные условия

$$(1.2) \quad \begin{aligned} \text{Real}[aA_1(x, y_w)e^{-i\omega t}] + U(x, y_w) &= 0, \\ \text{Real}[aA_3(x, y_w)e^{-i\omega t}] + V^*(x, y_w) - \partial y_w / \partial t &= 0. \end{aligned}$$

Раскладывая (1.2) в ряд в окрестности $y = 0$, с точностью $O(a^2) + O(\varepsilon a)$ имеем

$$(1.3) \quad A_1(x, 0) = -U'_w f(s), \quad A_3(x, 0) = -i\omega f(s), \quad U'_w = \frac{\partial U}{\partial y}(x, 0).$$

При $y \rightarrow \infty$ предполагается ограниченность возмущений

$$(1.4) \quad |\mathbf{A}| < \infty, \quad y \rightarrow \infty.$$

В сечении $x = x_0$, расположенному достаточно далеко вверх по потоку от вибратора, зададим начальные данные

$$(1.5) \quad \mathbf{A}(x_0, y) = \mathbf{A}_0(y).$$

Смешанная задача (1.1), (1.3) — (1.5), вообще говоря, некорректна. Необходимо, чтобы \mathbf{A}_0 допускала построение решения с конечным показателем роста вниз по потоку [11, 14].

2. Представим форму вибратора $f(s)$ в виде интеграла Фурье по волновым числам

$$(2.1) \quad f = \int_{-\infty}^{+\infty} \rho(\alpha_v) \exp [i\epsilon^{-1}\alpha_v(x - x_*)] d\alpha_v.$$

В [11] рассмотрена форма вибрирующей поверхности $f = \rho(\alpha_v) \times \exp [i\epsilon^{-1}\alpha_v(x - x_*)]$, соответствующая одной гармонике из интеграла (2.1). Показано, что в этом случае решение $\mathbf{A}(x, y, \alpha_v)$, представляется в виде разложения по биортогональной системе собственных функций $\{\mathbf{A}_\alpha, \mathbf{B}_\alpha\}$, дополненной неоднородным при $y = 0$ решением

$$\mathbf{A}(x, y, \alpha_v) = \sum_\alpha' c_\alpha(x) \mathbf{A}_\alpha(x, y) e^{\varphi_\alpha(x)} + \mathbf{A}_v(x, y) e^{\varphi_v(x)},$$

$$\varphi_\alpha(x) = i \int_{x_0}^x \epsilon^{-1} \alpha dx, \quad \varphi_v(x) = i \int_{x_*}^x \epsilon^{-1} \alpha_v dx.$$

Анализ спектра и основных свойств собственных функций проведен в [11, 14]. Выполняются соотношения ортогональности

$$\langle H_2 \mathbf{A}_\alpha, \mathbf{B}_\beta \rangle = \Delta_{\alpha\beta},$$

$$\langle H_2 \mathbf{A}, \mathbf{B} \rangle = \int_0^\infty (H_2 \mathbf{A}, \mathbf{B}) dy, \quad (H_2 \mathbf{A}, \mathbf{B}) = \sum_{i,j=1}^4 H_2^{ij} A_j \bar{B}_{ii}$$

где $\Delta_{\alpha\beta}$ — символ Кронекера, когда хотя бы одно из собственных значений принадлежит дискретному спектру; $\Delta_{\alpha\beta} = \delta(\alpha - \beta)$ — дельта-функция, если α, β относятся к непрерывному спектру (черта сверху обозначает комплексное сопряжение).

Вектор-функция $\mathbf{A}_v(x, y)$ является решением системы

$$\frac{\partial \mathbf{A}_v}{\partial y} - H_1 \mathbf{A}_v = i\alpha_v H_2 \mathbf{A}_v, \quad A_{v1} = -U'_w \rho(\alpha_v), \quad A_{v3} = -i\omega \rho(\alpha_v), \quad y = 0;$$

$$|\mathbf{A}_v| \rightarrow 0, \quad y \rightarrow \infty$$

и описывает возмущение, вносимое в локально-однородное течение вибрационной волной с волновым числом α_v . Имеет место соотношение [11]

$$(2.2) \quad \langle H_2 \mathbf{A}_v, \mathbf{B}_\alpha \rangle i(\alpha_v - \alpha) + (\mathbf{A}_v, \mathbf{B}_\alpha)_{y=0} = 0.$$

Пусть координата центра вибратора x_* совпадает с точкой потери устойчивости $x_{\text{п.у}}$ волны Т — III (ниже дано обобщение для вибратора, расположенного правее или левее $x_{\text{п.у}}$). Тогда в точке x_* возможен резонансный режим возбуждения волны Т — III $\alpha_v = \alpha_{v*} = \alpha_{TS}(x_*)$, где $\alpha_{TS}(x_*)$ — волновое число для волны Т — III. Амплитуда возмущения $A(x, y, \alpha_{v*})$ имеет асимптотику для $\epsilon \rightarrow 0$, $x - x_* \gg \sqrt{\epsilon} x_*$ [11]:

$$(2.3) \quad \mathbf{A}(x, y, \alpha_{v*}) = D(x, \epsilon) \mathbf{A}_{TS}(x, y),$$

$$D(x, \epsilon) = i \int_{x_0}^x \frac{\alpha_v - \alpha_{TS}}{\epsilon (x - x_*)} \exp \left[i \int_{x_0}^x \frac{\alpha_v - \alpha_{TS}}{\epsilon} dx \right] \times$$

$$\times dx \exp \left[- \int_{x_0}^{x_*} \left(i \frac{\alpha_{TS}}{\epsilon} + W_{TS, TS} \right) dx \right],$$

где \mathbf{A}_{TS} — собственная функция волны Т — III;

$$W_{TS, TS} = -\langle H_2 \partial \mathbf{A}_{TS} / \partial x, \mathbf{B}_{TS} \rangle - \langle H_3 \mathbf{A}_{TS}, \mathbf{B}_{TS} \rangle.$$

Малый параметр ϵ в эйконале $\varphi = i \int_{x_0}^x \epsilon^{-1} (\alpha_v - \alpha_{TS}) dx$ позволяет определить

лить асимптотику интеграла в (2.3) методом перевала. Амплитуда волны Т — III Φ_{TS} , возбуждаемой при резонансе, определяется окрестностью седловой точки x_* и имеет вид [11]

$$(2.4) \quad \begin{aligned} \Phi_{TS}(x, y, \alpha_v) &= a\rho(\alpha_{v*}) g A_{TS} e^{F_{TS}}, \\ g &= \sqrt{\frac{2\pi}{\epsilon \left(\frac{d\alpha_{TS}}{dx} \right)_*}} (U'_w B_{TS1} + i\omega B_{TS3})_{*,y=0} e^{i\Phi} + O(\epsilon^{1/2}), \\ F_{TS} &= \int_{x_*}^x \left(i \frac{\alpha_{TS}}{\epsilon} + W_{TS,TS} \right) dx, \end{aligned}$$

где Φ — действительная константа, определяемая выбором ветви корня в (2.4); величины с индексом * вычисляются в точке x_* .

Для малой расстройки резонанса $\Delta\alpha = \alpha_v - \alpha_{TS}(x_*)$ седловая точка z_* , определяемая уравнением $\alpha_v - \alpha_{TS} = 0$, будет комплексной:

$$z_* = x_* + \frac{i\Delta\alpha}{\left(\frac{d\alpha_{TS}}{dx} \right)_*} + O(\Delta\alpha^2).$$

Продолжим суммарное решение $A(x, y, \alpha_v)$ в малую область комплексной плоскости z , захватывающую $\sqrt{\epsilon}$ — окрестность седловой точки z_* (предполагается, что $A(z, y, \alpha_v)$ аналитична в этой области). Разложим $A(z, y, \alpha_v)$ в окрестности z_* так же, как это сделано для x_* в [11], и вычислим $D(z, \epsilon)$ методом перевала. В результате получим, что амплитуда возбуждаемой волны Т — III

$$(2.5) \quad \Phi_{TS}(x, y, \alpha_v) = a\rho(\alpha_v) g \exp \left[\frac{i}{2\epsilon} \frac{(\alpha_v - \alpha_{v*})^2}{\left(\frac{d\alpha_{TS}}{dx} \right)_*} \right] e^{F_{TS}} A_{TS}.$$

Интегрируя $\Phi_{TS}(x, y, \alpha_v)$ по всем α_v , принадлежащим области резонансного взаимодействия $|\alpha_v - \alpha_{v*}| \sim \sqrt{\epsilon} \alpha_{v*}$, при $x - x_* \gg \sqrt{\epsilon} x_*$ имеем асимптотическую оценку для суммарной амплитуды волны неустойчивости, возбуждаемой локализованным вибратором

$$(2.6) \quad \Phi_{TS\Sigma} = 2\pi a\rho(\alpha_{v*}) (U'_w B_{TS1} + i\omega B_{TS3})_{*,y=0} A_{TS} e^{F_{TS}},$$

$$\text{где } \rho(\alpha_{v*}) = \frac{1}{2\pi} \int_{-\infty}^{+\infty} f(s) e^{-i\alpha_{v*} s} ds.$$

Если вибратор смешен от точки потери устойчивости, α_{v*} будет комплексной. Продолжим $A(x, y, \alpha_v)$ в область комплексной плоскости α_v , захватывающей $\sqrt{\epsilon}$ — окрестность точки $\alpha_{v*} = \alpha_{TS}(x_*)$. Нетрудно показать, что соотношения (2.4), (2.5) не изменятся. Для вычисления суммарной амплитуды деформируем контур интегрирования по α_v , чтобы он проходил через седловую точку α_{v*} по линии наискорейшего спуска. В результате получим, что, как и в случае действительного α_{v*} , $\Phi_{TS\Sigma}$ определяется выражением (2.6).

Таким образом, генерация волны Т — III локализована на интервале течения $|x - x_*| \sim \sqrt{\epsilon} x_*$ и происходит в узком диапазоне волновых чисел вибратора $|\alpha_v - \alpha_{v*}| \sim \sqrt{\epsilon} \alpha_{v*}$, сосредоточенном возле резонансного значения $\alpha_{v*} = \alpha_{TS}(x_*)$. Возбуждаемая волна неустойчивости при $x - x_* \gg \sqrt{\epsilon} x_*$ развивается по законам уединенной волны. Так как возбуждение локализовано по x , соотношение (2.6) справедливо для пограничных слоев на телах достаточно гладкой формы с характерным масштабом $L \gg (v_\infty X / U_\infty)^{1/2}$.

3. При анализе п. 2 учет слабой неоднородности основного течения является принципиальным. В [9] асимптотическими методами решалась задача о возмущениях, возбуждаемых вибратором в плоскопараллельном пограничном слое. Для сравнения с результатами [9] рассмотрим данную задачу с помощью разложения по биортогональной системе собственных функций $\{A_\alpha, B_\alpha\}$.

Пусть вибратор расположен на дне плоскопараллельного пограничного слоя, соответствующего числу Рейнольдса $Re = (U_\infty X/v_\infty)^{1/2}$. Центр вибратора поместим в точке $x_* = 0$. Как и в [9], потребуем, чтобы $|A| \rightarrow 0$, $y \rightarrow \infty$, $x \rightarrow -\infty$. В некотором сечении $x = x_1$, расположенному вниз по потоку от выбирирующего участка поверхности, амплитуда возмущения $A_1 = A(x_1, y)$ удовлетворяет однородным граничным условиям на стенке $A_1(0) = A_3(0)$ и условию ограниченности $|A| < \infty$, $y \rightarrow \infty$. Тогда в области $x > x_1 > 0$ $A(x, y)$ можно разложить по полной системе собственных функций $\{A_\alpha, B_\alpha\}$ [14]:

$$A(x, y) = \sum_v \langle H_2 A_1, B_{\alpha_v} \rangle \exp[i\varepsilon^{-1} \alpha_v (x - x_1)] A_{\alpha_v}(y) + \\ + \sum_j \int_0^\infty \langle H_2 A_1, B_{\alpha_j} \rangle \exp[i\varepsilon^{-1} \alpha_j (x - x_1)] A_{\alpha_j}(y) dk,$$

где \sum_v — суммирование по дискретному спектру; \sum_j — сумма интегралов по ветвям сплошного спектра $\alpha_j = \alpha_j(k)$, $0 < k < \infty$.

Разложим $A(x, y)$ в интеграл Фурье по волновым числам α_v :

$$A(x, y) = \int_{-\infty}^{+\infty} A_v(y, \alpha_v) \exp[i\varepsilon^{-1} \alpha_v x] d\alpha_v.$$

Из (2.2) с учетом (2.1) имеем

$$(3.1) \quad \langle H_2 A_1, B_\alpha \rangle = (U'_w B_{\alpha_1} + i\omega B_{\alpha_3})_{y=0} \int_{-\infty}^{+\infty} \frac{\rho(\alpha_v)}{i(\alpha_v - \alpha)} \exp[i\varepsilon^{-1} \alpha_v x_1] d\alpha_v.$$

Рассмотрим случай докритических частот колебаний вибратора, при которых все волны дискретного спектра затухают вниз по потоку. Для вычисления интеграла в (3.1) замкнем контур интегрирования дугой окружности в верхней полуплоскости комплексной плоскости α_v . Устремляя радиус окружности к бесконечности и учитывая, что $x_1 > 0$, находим

$$\langle H_2 A_1, B_\alpha \rangle = (U'_w B_{\alpha_1} + i\omega B_{\alpha_3})_{y=0} 2\pi\rho(\alpha) e^{\frac{i\alpha}{\varepsilon} x_1},$$

где α принадлежит спектру, расположенному в верхней полуплоскости.

Таким образом, возмущения, возбуждаемые вибратором вниз по потоку при $x > x_1 > 0$,

$$A(x, y) = \sum_v' 2\pi\rho(\alpha_v) (U'_w B_{\alpha_v 1} + i\omega B_{\alpha_v 3})_{y=0} A_{\alpha_v} e^{\frac{i\alpha_v}{\varepsilon} x} + \\ + \sum_j' \int_0^\infty 2\pi\rho(\alpha_j) (U'_w B_{\alpha_j 1} + i\omega B_{\alpha_j 3})_{y=0} A_{\alpha_j} e^{\frac{i\alpha_j}{\varepsilon} x} dk,$$

где \sum_v' , \sum_j' обозначают суммирование по дискретному спектру и ветвям непрерывного спектра, расположенным в верхней полуплоскости α . В частности, для амплитуд возбуждаемой волны Т — Ш получаем соотношение, совпадающее с главным приближением (2.6), когда течение является слабонеоднородным:

$$(3.2) \quad \Phi_{TS\Sigma} = 2\pi\rho(\alpha_{TS}) (U'_w B_{TS1} + i\omega B_{TS3})_{y=0} A_{TS} e^{\frac{i\alpha_{TS}}{\varepsilon} x}.$$

Громоздкий анализ, выполненный методом сращиваемых асимптотических разложений в рамках модели [9], показал, что амплитуда волны Т — Ш (3.2) тождественно совпадает с результатом [9].

При увеличении частоты колебаний вибратора от докритических к закритическим частотам собственное значение волны Т — Ш α_{TS} переходит из верхней полуплоскости комплексной плоскости α в нижнюю (штриховая линия на фиг. 2). В этом случае для правильного выбора контура интегрирования необходимо рассмотреть вибратор, начинающий колебания в начальный момент времени $t = 0$, как в модельной задаче [6]*.

Вклад от полюса $\alpha = \alpha_{TS}$ необходимо включать в решение для $x > 0$, деформируя контур интегрирования, как на фиг. 2. Данное правило выбора контура согласуется с постулатом [10]. Отметим, что учет непараллельности основного течения позволяет сформулировать задачу с начальными данными при $x = x_0$ на больших масштабах длины и снимает вопрос о переходе от докритических к закритическим частотам.

4. В [11] показано, что для пограничного слоя в сжимаемом газе соотношения (2.5) и (2.6) не изменяются, если считать, что первая и третья компоненты вектора А для амплитуды возмущений в сжимаемом газе соответствуют возмущениям x - и y -компоненты скорости.

Соотношения (2.6) и (3.2) зависят от нормировки собственных функций A_{TS} , B_{TS} . Чтобы получить инвариантные соотношения, в эти выражения необходимо ввести множитель $S_{TS}/\langle H_2 A_{TS}, B_{TS} \rangle$, где S_{TS} — амплитуда возмущения интересующей нас физической величины, рассчитанная по вектору A_{TS} . При расчетах S_{TS} равна максимальной по y величине возмущения модуля массового расхода $q_{TS}(x)$. Тогда амплитуда волны неустойчивости, возбуждаемой локализованным вибратором,

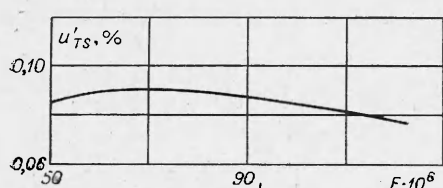
$$(4.1) \quad q_m(x) = a q_{TS}(x) \left| \frac{2\pi\rho(\alpha_{TS})(U'_w B_{TS1} + i\omega B_{TS3})_{*,y=0}}{\langle H_2 A_{TS}, B_{TS} \rangle_*} \right| e^{i\text{Im}(F_{TS})}.$$

По соотношению (4.1) выполнены численные расчеты для вибратора на теплоизолированной пластине, обтекаемой газом с показателем адиабаты 1,41, числом Прандтля 0,72. Число Маха в набегающем потоке менялось в диапазоне $M = 0,2 - 0,8$, температура торможения равнялась 310 К, коэффициент вязкости рассчитывался по формуле Сазерленда.

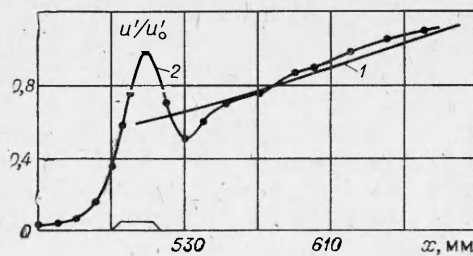
Результаты расчетов амплитуд возмущений массового расхода $q_m(x_*)$ в волне Т — Ш, возбуждаемой вибратором с $2\pi\rho(\alpha_{v*}) = 1$, локализованным возле точки потери устойчивости x_* , даны в таблице, где также приведены значения α_{TS} и Re_* , соответствующие $x = x_*$. В расчетах характерный масштаб X равен расстоянию от носика пластины до центра вибратора, так что $\text{Re} = \text{Re}_*$. Данные таблицы указывают, что вследствие узости области резонансного взаимодействия по волновым числам α_v амплитуда волны Т — Ш, генерируемой локализованным вибратором, на два порядка меньше соответствующей амплитуды при резонансном режиме возбуждения на уединенной вибрационной волне [11].

M	$F \cdot 10^6$	Re_*	$\alpha_{TS} \cdot 10^2$	$(q_m/a) \cdot 10^3$	M	$F \cdot 10^6$	Re_*	$\alpha_{TS} \cdot 10^2$	$(q_m/a) \cdot 10^3$
0,2	20	1020	7,27	5,79	0,6	20	960	6,45	4,67
	40	685	8,84	6,46		40	645	7,85	5,23
	60	550	10,04	6,92		60	520	8,97	5,65
0,4	20	1010	7,02	5,37	0,8	20	900	5,73	3,81
	40	665	8,40	5,95		40	615	7,12	4,38
	60	540	9,64	6,42		60	490	8,06	4,72

* Точный анализ задачи о вибраторе, начинающем колебания в момент $t = 0$, выполнен Е. Д. Терентьевым.



Фиг. 3



Фиг. 4

Для сопоставления теории и эксперимента [12] выполнены расчеты среднеквадратичных пульсаций x -компоненты скорости $u'_TS(x)$ в возбуждаемой волне Т — III, соответствующих максимальным по y значениям. Вычисления проводились для $Re = 502$ при частотных параметрах $F = (50 - 120) \cdot 10^{-6}$ ($F = 2\pi f v_\infty / U_\infty^2$, f — частота возмущения в Гц). В соответствии с экспериментом форма вибратора задавалась в виде трапеции с нижним основанием $l = 28$ мм и верхним основанием, равным $2/3l$. На фиг. 3 показана зависимость $u'_TS(x_*)$ от F для размерной амплитуды пульсаций $a = 10$ мкм. Как и в эксперименте, амплитуда возбуждаемой волны Т — III слабо зависит от частотного параметра при докритических и сверхкритических частотах (критическое значение $F \approx 70 \cdot 10^{-6}$).

На фиг. 4 приведено сравнение теоретических расчетов (кривая 1) с экспериментом (кривая 2) для частоты колебаний вибратора $f = 70$ Гц ($F = 120 \cdot 10^{-6}$). Абсолютная величина пульсаций отнесена к максимальному по x значению $u'_0 = 0,13\%$, достигаемому при $x \approx 510$ мм [12]; амплитуда вибраций $a = 10$ мкм. В области $x \geq 550$ мм, где волна Т — III выделяется из общего сигнала, теория находится в хорошем соответствии с экспериментальными данными.

Из расчетов следует, что для возбуждения волн неустойчивости с «опасными» (с точки зрения перехода) частотами и с начальными амплитудами $\sim 10^{-2}\%$ достаточны очень малые вибрации обтекаемой поверхности той же частоты с амплитудами ~ 1 мкм.

Авторы выражают благодарность Л. П. Воинову и В. Н. Жигулеву за постоянное внимание к работе и полезные обсуждения результатов.

ЛИТЕРАТУРА

1. Качанов Ю. С., Козлов В. В., Левченко В. Я. Возникновение турбулентности в пограничном слое. Новосибирск: Наука, 1982.
2. Жигулев В. Н. Проблема определения критических чисел Рейнольдса перехода ламинарного пограничного слоя в турбулентный. — В кн.: Механика неоднородных сред. Новосибирск: ИТПМ СО АН СССР, 1981.
3. Schubauer G. B., Skramstad H. K. Laminar boundary layer oscillations and stability of laminar flow. — NACA Rep. N 909, 1948.
4. Качанов Ю. С., Козлов В. В., Левченко В. Я. Генерация и развитие возмущений малой амплитуды в ламинарном пограничном слое при наличии акустического поля. — Изв. СО АН СССР, 1975, № 13, сер. техн. наук, вып. 3.
5. Поляков Н. Ф. Ламинарный пограничный слой в условиях «естественного» перехода к турбулентному течению. — В кн.: Развитие возмущений в пограничном слое. Новосибирск: ИТПМ СО АН СССР, 1979.
6. Gaster M. On the generation of spatially growing waves in a boundary layer. — J. Fluid Mech., 1965, vol. 22, pt 3.
7. Терентьев Е. Д. О нестационарном пограничном слое с самоиндукционным давлением около колеблющейся стенки в сверхзвуковом потоке. — ДАН СССР, 1978, т. 240, № 5.

8. Терентьев Е. Д. Расчет давления в линейной задаче о вибраторе в сверхзвуковом пограничном слое.— ПММ, 1979, т. 43, вып. 6.
9. Терентьев Е. Д. Линейная задача о вибраторе в дозвуковом пограничном слое.— ПММ, 1981, т. 45, вып. 6.
10. Богданова Е. В., Рыжов О. С. О возмущениях, генерируемых осцилляторами в потоке вязкой жидкости на закритических частотах.— ПМТФ, 1982, № 4.
11. Тумин А. М., Федоров А. В. Возбуждение волн неустойчивости в пограничном слое на вибрирующей поверхности.— ПМТФ, 1983, № 3.
12. Гилев В. М., Козлов В. В. Возбуждение волн Толлмина — Шлехтинга в пограничном слое на вибраторе. Препринт № 19-83. Новосибирск: ИТПМ СО АН СССР, 1983.
13. Жигулов В. Н., Сидоренко Н. В., Тумин А. М. О генерации волн неустойчивости в пограничном слое внешней турбулентностью.— ПМТФ, 1980, № 6.
14. Тумин А. М., Федоров А. В. Пространственное развитие возмущения в пограничном слое сжимаемого газа.— ПМТФ, 1983, № 4.

Поступила 5/X 1983 г.